



Numerical Simulation of Cavitating Subsurface Hydrofoil at High Froude numbers

Ghazal Taghinia¹, Ali Esmaeili^{2*}

¹ MSc Student, Ferdowsi University of Mashhad; ghazal.taghinia@mail.um.ac.ir

² Assistant Professor, Ferdowsi University of Mashhad; aliesmaeili@ferdowsi.um.ac.ir

ARTICLE INFO

Article History:

Received: 13 Dec 2023

Last modification: 17 Feb 2025

Accepted: 27 May 2025

Available online: 29 May 2025

Article type:

Research paper

Keywords:

Hydrofoil

Cavitation

Free surface effect

Supercritical open channel flow

CFD

ABSTRACT

As an autonomous underwater vehicle (AUV) moves near the free surface, it gives rise to distinctive wave patterns on the sea's surface and fosters the formation of bubbles around its body. The influence of free surface and bubble formation at high system velocities significantly affects the performance of the vehicle and requires further investigation. To numerically simulate wave patterns and partial cavitation bubbles, the submerged body was modeled using the NACA hydrofoil series. By altering the geometry, angle of attack, immersion depth, and cavitation number, variations in the wave amplitude and bubble shape were examined. As the submerged body approaches the sea level, the presence of the free surface becomes more significant, resulting in an increased wave amplitude. Additionally with decreasing submersion depth lift and drag coefficients decrease and decreasing cavitation number results in an expansion of the cavitation volume, consequently reducing the amplitude of the free surface wave.

ISSN: 2645-8136



DOI: <http://dx.doi.org/10.61882/marineeng.21.46.2>

Copyright: © 2025 by the authors. Submitted for possible open access publication under the terms and conditions of the Creative Commons Attribution (CC BY) license [<https://creativecommons.org/licenses/by/4.0/>]



شبیه‌سازی عددی هیدروفویل نزدیک به سطح آزاد آب در جریان فوق بحرانی و کاویتاسیونی

غزل تقی‌نیا^۱ ID، علی اسماعیلی^۲ ID*

^۱ دانشجوی کارشناسی ارشد مهندسی هوافضا/ دانشگاه فردوسی مشهد، ghazal.taghinia@mail.um.ac.ir

^۲ استادیار مهندسی هوافضا/ دانشگاه فردوسی مشهد، aliesmaeili@ferdowsi.um.ac.ir

چکیده

با حرکت وسایل دریایی بدون سرنشین نزدیک سطح آب، موجی در سطح دریا و حباب کاویتاسیونی روی سطح جسم ایجاد می‌شود. اثر سطح آزاد و تشکیل حباب در سرعت‌های بالای سامانه به کلی بر عملکرد وسیله تاثیر گذار بوده و نیازمند بررسی بیشتر است. در این پژوهش هندسه جسم مغروق با هیدروفویل‌های مختلف ناکا مدل‌سازی شد تا با حل مسئله به روش عددی، شکل موج سطح آزاد و حباب بخار آب حول هیدروفویل شبیه‌سازی شود. با تغییر هندسه، زاویه حمله، عمق غرق‌شدگی و سرعت هیدروفویل تغییرات دامنه موج و شکل حباب مورد بررسی قرار گرفت. با نزدیک شدن جسم غوطه‌ور به سطح آب، حضور سطح آزاد اهمیت بیش‌تری پیدا کرده و دامنه موج تشکیل‌شده بلندتر شده است. علاوه بر این، ضرایب برآ و پسا با کاهش عمق غوطه‌وری کم‌تر شده و با کاهش عدد کاویتاسیون، حجم حباب بخار تشکیل‌شده رشد کرده که منجر به کاهش دامنه موج سطح آزاد شده است.

اطلاعات مقاله

ناریخچه مقاله:

تاریخ دریافت مقاله: ۱۴۰۲/۰۹/۲۲

تاریخ اصلاح مقاله: ۱۴۰۳/۱۱/۲۹

تاریخ پذیرش مقاله: ۱۴۰۴/۰۳/۰۶

تاریخ انتشار مقاله: ۱۴۰۴/۰۳/۰۸

نوع مقاله:

مقاله پژوهشی

کلمات کلیدی:

هیدروفویل،

کاویتاسیون،

سطح آزاد آب،

کانال باز فوق بحرانی،

دینامیک سیالات محاسباتی

DOI: <http://dx.doi.org/10.61882/marineeng.21.46.2>

ISSN: 2645-8136

حق نشر: © ۲۰۲۵ توسط نویسندگان. این اثر برای انتشار با دسترسی آزاد، تحت شرایط و ضوابط مجوز (CC BY) ارسال شده است.



۱ - مقدمه

طراحی شناور زیرسطحی بدون سرنشین^۱، از پیچیده‌ترین و چالش برانگیزترین سامانه‌های مهندسی است. این سامانه‌ها بدون احتیاج به خدمه نزدیک سطح دریا و از راه دور کنترل و هدایت می‌شوند. این وسایل نقلیه خودمختار برای اهداف وسیعی از جمله اقیانوس‌شناسی، نظارت بر محیط‌زیست و حمل‌ونقل کالا کاربرد دارند [۱]. با حرکت شناور نزدیک سطح آب، تغییرات فشار ناشی از آن به شکل موجی در سطح آزاد دریا نمایان شده که باعث افزایش فشار هیدرو-استاتیکی بر بدنه زیردریایی و تغییر نیروهای آیرودینامیکی وارده بر هندسه می‌شود. تاکنون مقالات زیادی به بررسی حرکت جسم غوطه‌ور با سرعت پایین در آب پرداخته‌اند. سمینو^۲ و همکاران [۲] مسئله جسم دلخواه غرق‌شده در عمق محدود را با نداشت در دستگاه مختلط حل کردند. با حل تقریبی مسئله شکل موج سطح آزاد محاسبه شد. این روش در شرایطی که پدیده‌های فیزیکی پرش هیدرولیکی^۳ و موج-شکنا^۴ رخ می‌دهد، پاسخی نداشت.

بلین^۵ و همکاران [۳] با بررسی تجربی و تحلیلی فشار سطح هیدروفویل و شکل موج سطح آزاد در تونل آب دریافتند عدد فرود جریان نقش کلیدی در تعیین شکل موج جریان دارد. در اعداد فرود کم‌تر از یک جریان زیر بحرانی است و اختلال ناشی از حرکت هیدروفویل بر بالادست و پایین‌دست جریان اثرگذار است. با افزایش سرعت هیدروفویل جریان فوق بحرانی شده و موج تنها می‌تواند به پایین‌دست جریان حرکت کند [۴]. در این رژیم از جریان سرعت انتشار موج سطح آزاد از سرعت حرکت هیدروفویل کمتر است. با افزایش نیاز صنعت به طراحی و ساخت وسایل نقلیه سرعت‌بالا رفتار جریان در اعداد فرود بالا مورد توجه محققان و مهندسان قرار گرفت [۵]. با برخورد آب با سطح زیردریایی در جریان‌های با سرعت بالا، ناحیه‌ای پر فشار در سطح زیرین و ناحیه‌ای کم‌فشار روی سطح بالایی ایجاد می‌شود. اگر فشار محلی سطح بالایی کمتر از فشار بخار باشد می‌تواند باعث گسست مولکول‌های آب و تشکیل پدیده کاویتاسیون گردد. وقوع کاویتاسیون با آثار منفی زیادی از جمله خوردگی و فرسایش سطوح، ایجاد سروصدا، کاهش بازده عملکردی، کاهش برآ و افزایش پسا همراه است [۶]. کیناس^۶ [۷] مسئله کاویتاسیون حول هیدروفویل را به کمک اصل برهم نهی به صورت

عددی از تئوری تابع پتانسیل جریان حل کرد. با محاسبه ضرایب آیرودینامیکی و شکل حباب برای هیدروفویل غرق‌شده در عمق بی‌نهایت، بال^۷ و همکاران [۸] تابع پتانسیل اثر حضور سطح آزاد را به نتایج حل اضافه کرده و دریافتند حضور سطح آزاد در جریان کاویتاسیونی منجر به تغییر شکل حباب بخار می‌شود. در جریان هیدروفویل غرق‌شده در عمق محدود نیز صرف‌نظر کردن از اثر کاویتاسیون منجر به تغییر شکل موج سطح آزاد و ضرایب آیرودینامیکی می‌شود؛ بنابراین لازم است اثر این دو پدیده برای هندسه غرق‌شده در عمق محدود بررسی شود. وو^۸ و همکاران [۹] ضریب فشار سطح هیدروفویل ناکا ۱۶۰۰۶ را برای جریان کاویتاسیونی پایا در عدد فرود ۶/۴۸ شبیه‌سازی کردند. برای بررسی ناپایایی در پدیده‌های شکست موج^۹، فروپاشی و تشکیل ابر کاویتاسیون، سان^{۱۰} و همکاران [۱۰] جریان کاویتاسیونی ناپایا حول هیدروفویل ناکا ۶۶ در نزدیکی سطح آزاد را بررسی کردند. نتایج این مقاله نشان داد وجود سطح آزاد شدت کاویتاسیون را کم کرده و فرکانس نوسانات حباب کاویتاسیون بیشتر می‌شود. با افزایش عمق غرق‌شدگی شدت کاویتاسیون بیشتر شده و هیدروفویل ضرایب برآ و پسای بیشتری تجربه می‌کند. با کاهش عمق غرق‌شدگی نوسانات موج در ناحیه دنباله‌ی هیدروفویل شدیدتر است و در بعضی زمان‌ها شکست موج رخ می‌دهد.

تاکنون پژوهشی که به مقایسه و بررسی عددی جریان کاویتاسیونی پایا و لزج هیدروفویل‌های ناکا در جریان فوق بحرانی در حضور سطح آزاد بپردازد، ارائه نشده‌است. در این پژوهش ابتدا اثر حضور سطح آزاد بر شکل حباب جریان کاویتاسیونی بررسی می‌شود. سپس اثر تشکیل حباب کاویتاسیون بر شکل موج و ضرایب آیرودینامیکی جریان فوق بحرانی کانال باز بررسی شده و در انتها با تحقیق بر اثر تغییر هندسه شناور، زاویه حمله و سرعت جریان بر عملکرد جسم غوطه‌ور پیشنهاداتی برای طراحی سامانه‌ای با بازده مناسب ارائه خواهد شد.

۲ - شبیه‌سازی دینامیک سیالات محاسباتی

۲-۱- تعریف مسئله و شبکه‌بندی

برای بررسی اثر کاویتاسیون و سطح آزاد بر ضرایب آیرودینامیکی شناور زیر سطحی در اعداد فرود بالا، محیط دریا و جریان هوای مجاور آن با مستطیلی به ابعاد (۱۵m × ۱۰m) و هندسه جسم مغروق با هیدروفویل‌های ناکا به کمک نرم‌افزار دیزاین‌مدلر^{۱۱} به

^۱ Autonomous Underwater Vehicles

^۲ Semenov

^۳ Hydraulic-jump

^۴ Breaking-wave

^۵ Blaine

^۶ Kinnas

^۷ Bal

^۸ Wu

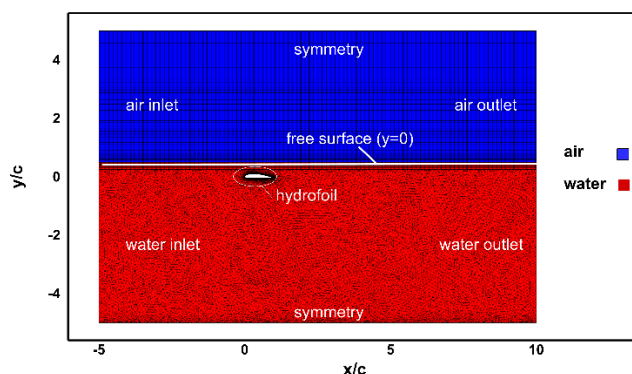
^۹ Wave breaking

^{۱۰} Sun

^{۱۱} Design modeler

صورت دوبعدی مدل سازی شد. در شکل (۱) هندسه، شرایط مرزی و شبکه بندی آورده شده است. دامنه حل به دو ناحیه تقسیم شد. نیمه بالا هوا با چگالی $1/225 \text{ kg/m}^3$ و لزجت دینامیکی $1.8 \times 10^{-5} \text{ kg/m.s}$ و نیمه پایین آب با چگالی $998/2 \text{ kg/m}^3$ و لزجت دینامیکی 0.01003 kg/m.s است. با حل مسئله موجی در سطح دریا و حباب کاویتاسیونی در ناحیه کم فشار حول هیدروفویل تشکیل می شود. حباب کاویتاسیون با بخار آب به چگالی 0.5542 kg/m^3 و لزجت دینامیکی $1/34 \times 10^{-5} \text{ kg/m.s}$ اشباع خواهد شد.

شبکه بندی این هندسه با نرم افزار انسیس مشینگ ۱۲ انجام شده است. نیمه بالایی دامنه حل شبکه بندی سازمان یافته مستطیلی ۱۳ و نیمه پایینی دامنه شبکه بندی مثلثی بی سازمان دارد. در مرز سطح دریا که تغییرات چگالی زیاد است و حول هیدروفویل که تغییرات سرعت زیاد است، مش با دستور تورم ۱۴ تا حد مناسبی ریز شده است.



شکل ۱ - دامنه حل، شرایط مرزی و شبکه بندی

۲-۲- معادلات حاکم

در این مسئله سه فاز هوا، آب مایع و بخار آب وجود دارد. دو فاز مجزا و غیر قابل اختلاط هوا و آب در سطح آزاد با خط موج از یکدیگر جدا می شوند. با تبدیل آب مایع به بخار و تشکیل حباب کاویتاسیون فاز سوم این مسئله ایجاد می شود. این جریان چند فازی با مدل کسر حجمی سیال^{۱۵} در نرم افزار فلوئنت حل شد. با مدل کسر حجمی می توان رفتار دو یا چند سیال مخلوط نشدنی را پیش بینی کرد. در این مدل هر سلول از شبکه باید کاملاً با فازها پر شود. اگر حجم یک سلول را واحد در نظر بگیریم و فاز سیال q باشد و کسر حجمی این فاز در یک سلول با α_q نشان داده شود؛ کسر حجمی این فاز در یک سلول به یکی از سه شکل زیر است:

- سلول خالی از فاز q و $\alpha_q = 0$ است.

- سلول به طور کامل با فاز q پر شده و $\alpha_q = 1$ است.
- بخشی از این سلول با فاز q و بخش دیگر آن با فازهای دیگر پر شده و $0 < \alpha_q < 1$ است. این فازها مرز مشترکی در سلول دارند.

با هر بار حل مسئله، کسر حجمی هر فاز در تمامی سلولها محاسبه می شود. با میانگین گیری حجمی خصوصیات و متغیرهای خواسته شده در هر سلول از شبکه قابل محاسبه است.

در مدل کسر حجمی مرز مشترک بین فازها با حل معادله پیوستگی کسر حجمی از رابطه (۱) مشخص می شود.

$$\frac{1}{\rho_q} \left[\nabla \cdot (\alpha_q \rho_q \vec{V}_q) = \sum_{p=1}^n (\dot{m}_{pq} - \dot{m}_{qp}) \right] \quad (1)$$

در این رابطه q فاز سیال، α_q کسر حجمی این فاز، ρ_q چگالی فاز، \vec{V}_q بردار سرعت، \dot{m}_{pq} نرخ جرم انتقال داده شده از فاز p به فاز q و \dot{m}_{qp} نرخ جرم انتقال داده شده از فاز q به p است. رابطه (۱) برای فاز اولیه حل نمی شود و کسر حجمی این فاز از رابطه (۲) محاسبه می شود.

$$\sum_{q=1}^n \alpha_q = 1 \quad (2)$$

در روش کسر حجمی سیال خواص سیال با میانگین گیری وزنی محاسبه می شود؛ مثلاً برای محاسبه چگالی و لزجت دینامیکی هر یک از سلولهای شبکه به ترتیب از روابط (۳) و (۴) استفاده می شود.

$$\rho = \sum \alpha_q \rho_q \quad (3)$$

$$\mu = \sum \alpha_q \mu_q \quad (4)$$

در این روابط q فاز سیال، α_q کسر حجمی این فاز، ρ_q چگالی فاز، μ میانگین چگالی سیال، μ_q لزجت دینامیکی فاز و μ میانگین لزجت سیال است.

در روش کسر حجمی فازها میدان سرعت با حل معادله مومنوم پایا از رابطه (۵) محاسبه شده و نتایج میدان سرعت میان فازها به اشتراک گذاشته می شود. با وجود لزجت دینامیکی، چگالی و وابستگی آنها به کسر حجمی فازها معادله مومنوم به کسر حجمی فازها وابسته می شود.

$$\nabla \cdot (\rho \vec{V} \vec{V}) = -\nabla P + \nabla \cdot [\mu (\nabla \vec{V} + \nabla \vec{V}^T)] + \rho \vec{g} + \vec{F} \quad (5)$$

در این رابطه ρ چگالی مخلوط فازها در هر سلول، \vec{V} بردار سرعت، ∇P گرادیان فشار، μ لزجت دینامیکی مخلوط فازها در

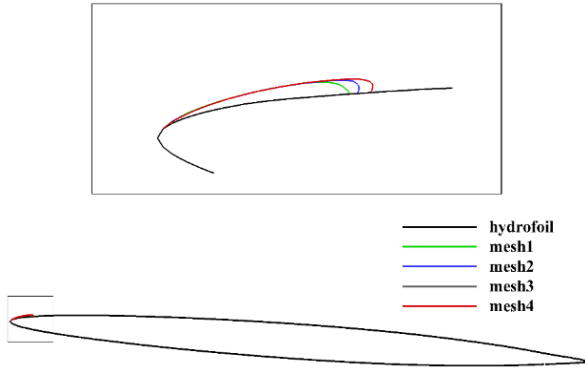
¹² Ansys meshing

¹³ quadrilateral

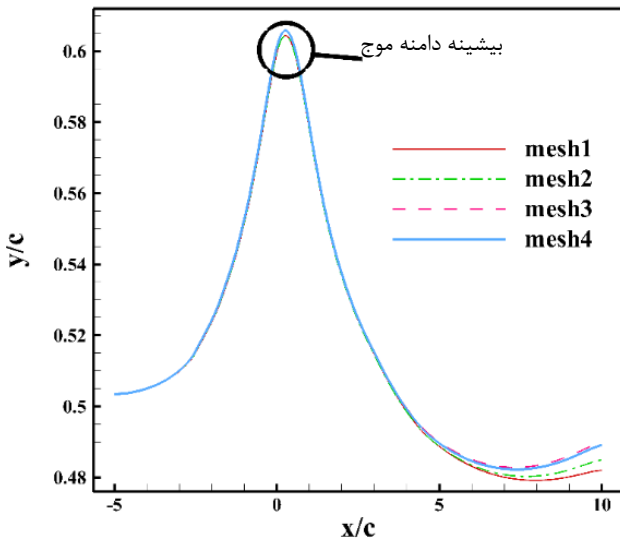
¹⁴ inflation

¹⁵ Volume of fluids

شکل حباب کاویتاسیون ۴ شبکه‌بندی و در شکل (۳) شکل موج سطح آزاد با یکدیگر مقایسه شده‌اند. شکل حباب کاویتاسیون و شکل موج شبکه‌بندی ۳ و ۴ بر هم منطبق بود. برای کاهش هزینه محاسباتی شبکه ۳ که تعداد سلول کمتری دارد انتخاب شد. تعداد گره‌ها روی هیدروفویل این شبکه ۲۲۰۰ و تعداد کل سلول‌ها ۱۳۲۶۲۲ است.



شکل ۲ - بررسی استقلال از شبکه (مقایسه‌ی شکل کاویتاسیون) در عدد کاویتاسیون ۱، زاویه حمله ۴ درجه و عمق غرق‌شدگی ۰/۵ طول وتر



شکل ۳ - بررسی استقلال از شبکه (مقایسه‌ی شکل موج) در عدد کاویتاسیون ۱، زاویه حمله ۴ درجه و عمق غرق‌شدگی ۰/۵ طول وتر

با شبیه‌سازی آشفتگی از مدل‌های متفاوت آشفتگی، تنها $k - \epsilon$ standard طول حباب کاویتاسیون و ناحیه جت بازگشتی را به‌درستی پیش‌بینی کرد. نمودار y^+ این شبکه در شکل (۴) آورده شده است. مقادیر y^+ روی مرز دیواره هیدروفویل برای این شبکه در بازه ۴۰ تا ۱۴۰ است که برای این دسته از شبیه‌سازی‌ها، مقادیر به‌دست‌آمده محدوده‌ی قابل قبول است و دقت شبیه‌سازی را تأیید می‌کند.

هر سلول، ρg نیروی جاذبه وارده به سیال و \bar{F} نیروی حجمی است.

مدل‌سازی کاویتاسیون برای محاسبه نرخ انتقال جرم از فاز آب به فاز بخار آب با مدل اشتر-سوئر^{۱۶} از رابطه (۶) انجام شده‌است.

$$\nabla \cdot (\alpha_v \rho_v \bar{V}) = \frac{\rho_v \rho_l}{\rho} (\bar{V} \cdot \nabla \alpha_v) \quad (6)$$

در این رابطه α_v کسر حجمی بخار آب، ρ_v چگالی فاز بخار، \bar{V} سرعت فاز بخار، ρ_l چگالی آب و ρ چگالی مخلوط سیال، تابعی از کسر حجمی و چگالی فازها است.

برای شبیه‌سازی آشفتگی از مدل دو معادله‌ای $k - \epsilon$ استفاده شده‌است. انرژی جنبشی k و انرژی تلفاتی بر واحد جرم ϵ در رابطه (۷) و (۸) آورده شده‌است.

$$\frac{\partial}{\partial X_i} (\rho k u_i) = \frac{\partial}{\partial X_j} \left[\mu \frac{\partial k}{\partial X_j} \right] + G_k - \rho \epsilon \quad (7)$$

$$\frac{\partial}{\partial X_i} (\rho \epsilon u_i) = \frac{\partial}{\partial X_j} \left[\mu \frac{\partial \epsilon}{\partial X_j} \right] + C_{1\epsilon} \frac{\epsilon}{k} G_k - C_{2\epsilon} \rho \frac{\epsilon^2}{k} \quad (8)$$

در نهایت اعداد بی‌بعد رینولدز، فروید و کاویتاسیون که تعیین‌کننده رفتار و رژیم جریان آشفتگی و کاویتاسیونی در حضور سطح آزاد هستند؛ در روابط (۱۰)، (۱۱) و (۱۲) آورده شده‌است.

$$Re = \frac{\rho_l U c}{\mu_l} \quad (10)$$

$$Fr = \frac{U}{\sqrt{g c}} \quad (11)$$

$$\sigma_v = \frac{p_0 + \rho_l g h - p_v}{\frac{1}{2} \rho_l U^2} \quad (12)$$

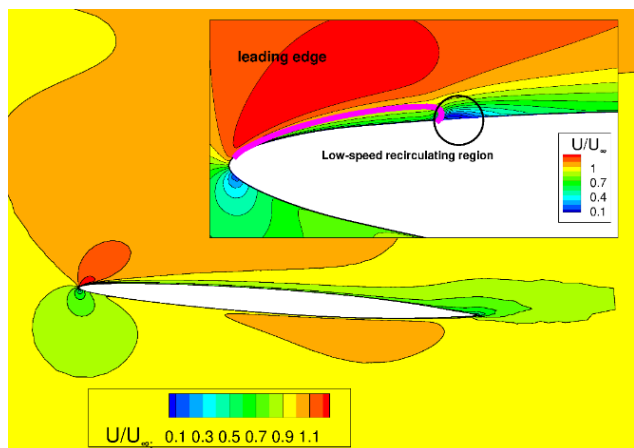
در این روابط ρ_l چگالی سیال آب، U سرعت جریان ورودی، c طول وتر هیدروفویل، μ_l لزجت سیال آب، p_0 فشار اتمسفر آزاد، p_v فشار بخار اشباع، g شتاب گرانش زمین و h عمق غرق‌شدگی هیدروفویل است.

۳- نتایج و بررسی

۳-۱- استقلال از شبکه و اعتبار سنجی

برای بررسی استقلال از شبکه، هیدروفویل ناکا ۱۶۰۰۶ در زاویه حمله ۴ درجه، عمق غرق‌شدگی ۰/۵ طول وتر هیدروفویل و عدد کاویتاسیون ۱، در جریانی با عدد فروید ۴/۵۶ شبیه‌سازی شد. ۴ شبکه با تعداد سلول متفاوت با یکدیگر مقایسه شدند. در شکل (۲)

حباب کاویتاسیون کشیده می‌شوند. منحرف شدن خطوط جریان به سمت حباب کاویتاسیون این ناحیه کم‌سرعت را ایجاد کرده‌است.



شکل ۶ - کانتور اندازه سرعت بی بعد شده در عدد کاویتاسیون ۱، زاویه حمله ۴ درجه و عمق غرق‌شدگی ۰/۵ طول وتر هیدروفویل

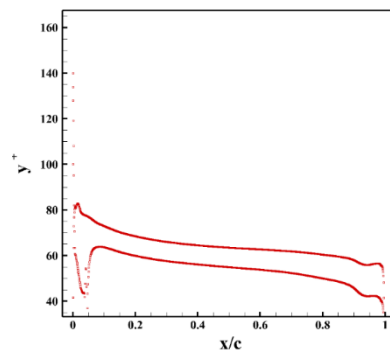
۲-۳- اثر سطح آزاد

در این بخش اثر سطح آزاد و موج تشکیل شده بر شکل و اندازه حباب کاویتاسیون هیدروفویل ناکا ۱۶۰۰۶ در زاویه حمله ۴ درجه بررسی خواهد شد. اگر مختصات مشخصی روی سطح بالای هیدروفویل انتخاب شده و به سمت بالا حرکت کنیم، هیدروفویلی که در مجاورت سطح آزاد حرکت می‌کند به علت وجود فشار هیدرو-استاتیکی، فشار بیشتری در راستای عمودی تجربه خواهد کرد. حضور سطح آزاد و افزایش سطح دریا بالای لبه‌ی حمله باعث بالا رفتن فشار هیدرو-استاتیکی این ناحیه و کاهش سرعت محلی خواهد شد. کاهش سرعت محلی، کوچک شدن حباب کاویتاسیون را به دنبال دارد [۱۰]. در شکل (۷) مقایسه‌ای از اندازه حباب کاویتاسیون در صورت وجود سطح آزاد و بدون آن آورده شده‌است. در صورت صرف نظر کردن از اثر سطح آزاد طول حباب کاویتاسیون ۲/۳٪ طول وتر بیشتر خواهد شد. عدد کاویتاسیون در هر دو شبیه‌سازی ۱ است. با توجه به یکسان بودن عدد کاویتاسیون هر دو مسئله سرعت جریان ورودی در صورت وجود سطح آزاد و عمق غرق‌شدگی ۰/۵ طول وتر هیدروفویل از رابطه (۱۲) و در صورت عدم وجود سطح آزاد از رابطه (۱۳) محاسبه شده‌است.

$$\sigma_v = \frac{P_0 - P_v}{\frac{1}{2} \rho U^2} \quad (13)$$

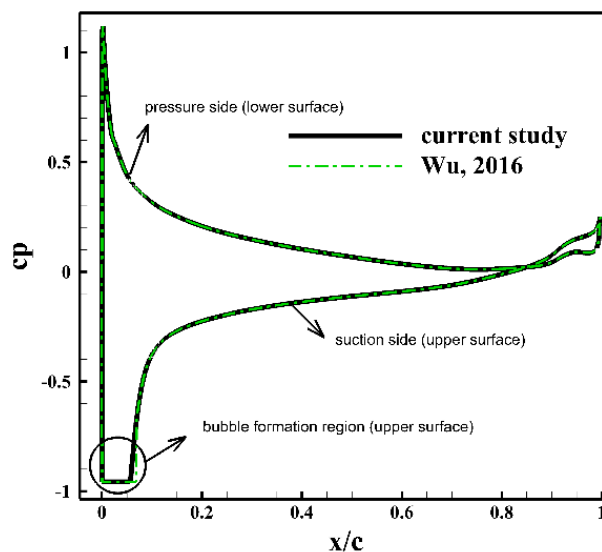
در این رابطه P_0 فشار اتمسفر، P_v فشار بخار آب و ρ چگالی آب و U سرعت سیال است.

اگرچه سرعت سیال در صورت عدم وجود سطح آزاد کمتر است و انتظار می‌رود حباب کاویتاسیون کوچک‌تر باشد، اما کم شدن فشار هیدرو-استاتیکی سیال باعث بزرگ شدن حباب کاویتاسیون شده



شکل ۴- نمودار y^+ شبکه‌ی سوم

به‌منظور بررسی صحت شبیه‌سازی، نتایج شبکه سوم با مرجع [۹] مقایسه شد. شایان ذکر است که در این مرجع، استقلال از دامنه‌ی حل بررسی شده است و در این پژوهش، از نتایج آن برای اطمینان از مناسب بودن دامنه‌ی محاسباتی استفاده شده است. در شکل (۵) ضریب فشار شبیه‌سازی حاضر با نتایج مرجع مقایسه شده‌است. طول حباب کاویتاسیون، ناحیه‌ی فشار ثابت نمودار، در هر دو شبیه‌سازی ۵٪ طول وتر هیدروفویل است. با محاسبه سطح داخل نمودار ضریب فشار، به‌اندازه‌ی ۳۰٪ نیروی برآ از ناحیه‌ی حباب کاویتاسیون که تنها ۵٪ طول وتر را شامل می‌شود، تأمین شده و ۷۰٪ باقی‌مانده از ۹۵٪ بقیه طول وتر حاصل شده‌است. ضریب برآ ۰/۲۸ و ضریب پسا ۰/۲۴ است.

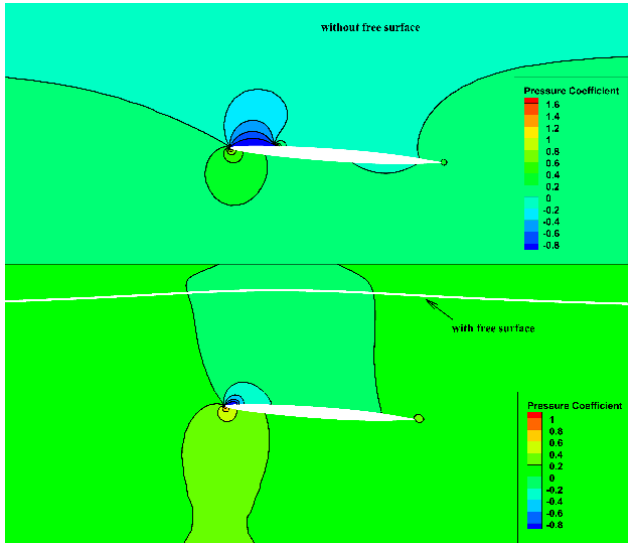


شکل ۵ - مقایسه‌ی ضریب فشار شبیه‌سازی حاضر و مرجع [۹] در عدد کاویتاسیون ۱، زاویه حمله ۴ درجه و عمق غرق‌شدگی ۰/۵ طول وتر

در شکل (۶) کانتور اندازه‌ی سرعت بی بعد شده در نواحی اطراف هیدروفویل آورده شده‌است. از مختصات روی سطح بالای هیدروفویل که کسر حجمی بخار آب خالص از یک کمتر شده تا زمانی که کسر حجمی بخار آب به ۰/۰۲ می‌رسد، یک ناحیه جریان کم‌سرعت بازگشتی ایجاد شده‌است. در جریان کاویتاسیونی حول هیدروفویل کمینه فشار داخل حباب کاویتاسیون رخ می‌دهد؛ بنابراین خطوط جریان به سمت

است.

صرف نظر کردن از اثر آن آورده شده است. همانطور که این جدول نشان می‌دهد حضور سطح آزاد منجر به کاهش نیروی پسا و برآ خواهد شد.



شکل ۹ - مقایسه کانتور ضریب فشار در صورت وجود سطح آزاد و بدون آن در عدد کایتاسیون ۱ و زاویه حمله ۴ درجه

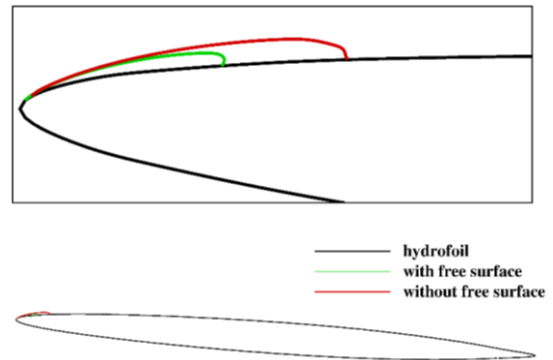
جدول ۱ - مقایسه ضرایب آیرودینامیکی در صورت وجود سطح آزاد و بدون آن در عدد کایتاسیون ۱ و زاویه حمله ۴ درجه

ضریب پسا	ضریب برآ	
۰/۰۲۴	۰/۲۸	همراه سطح آزاد
۰/۰۳۰	۰/۳۵	بدون سطح آزاد

۳-۳- اثر تشکیل حباب

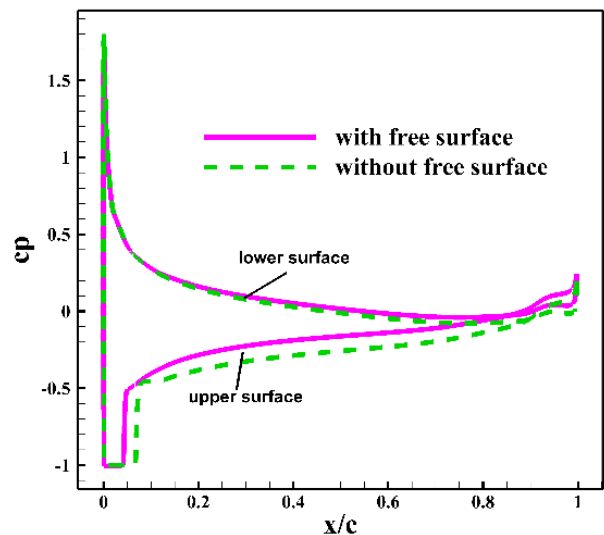
در حالت کلی کمتر شدن فشار سیال از فشار بخار آب تضمین‌کننده وقوع کایتاسیون نیست و شروع این پدیده به شرایط اولیه سیال وابسته است. به اختلاف فشار شروع کایتاسیون و فشار بخار آب تأخیر استاتیکی می‌گویند [۶]. در این بخش نتایج شبیه‌سازی هیدروفویل ناکا ۱۶۰۰۶ در عمق غرق‌شدگی ۰/۵ طول وتر و زاویه حمله ۴ درجه در دو حالت جریان کایتاسیونی و در صورت صرف نظر کردن از اثر تشکیل کایتاسیون مقایسه شده‌اند. عدد فرود در این دو شبیه‌سازی ۶/۴۸ است.

در شکل (۱۰) شکل موج تشکیل شده در جریان کایتاسیونی و جریان بدون کایتاسیون مقایسه شده‌اند. وجود کایتاسیون باعث بیشتر شدن ارتفاع موج می‌شود [۱۱]. بیشینه ارتفاع حباب کایتاسیون در این شبیه‌سازی ۲٪ طول وتر هیدروفویل است در حالی که افزایش ارتفاع موج در صورت تشکیل حباب تنها ۰/۲٪ طول وتر هیدروفویل است.



شکل ۷ - مقایسه حباب کایتاسیون در صورت وجود سطح آزاد و بدون آن در عدد کایتاسیون ۱ و زاویه حمله ۴ درجه

در شکل (۸) مقایسه‌ای از ضریب فشار سطح هیدروفویل در صورت وجود سطح آزاد و بدون در نظرگیری اثر آن آورده شده است. مقدار کمینه ضریب فشار در هر دو مسئله ۱- است. ضریب فشار پایین هیدروفویل در هر دو شبیه‌سازی تقریباً برهم منطبق است، اما سطح بالای هیدروفویل در صورت وجود سطح آزاد، ضریب فشار بیشتر است. بعد از ناحیه تشکیل حباب نمودار ضریب فشار سطح بالای هر دو مسئله موازی یکدیگر و در فاصله تقریبی ۰/۱ از هم قرار دارند.



شکل ۸ - مقایسه ضریب فشار در صورت وجود سطح آزاد و بدون آن در عدد کایتاسیون ۱ و زاویه حمله ۴ درجه

در صورت وجود سطح آزاد ناحیه کم‌فشار سطح بالای هیدروفویل، به علت کوچک شدن حباب کایتاسیون، کوچک‌تر است؛ بنابراین اختلاف فشار سطح بالا و پایین هیدروفویل کمتر و ضرایب برآ و پسا نسبت به حالتی که سطح آزاد وجود ندارد، کوچک‌تر خواهد شد. در شکل (۹) نمایی از کانتور ضریب فشار در دو حالت مختلف آورده شده است. برای درک بهتر اثر سطح آزاد بر هیدروفویل در جدول (۱) ضرایب برآ، پسا در صورت وجود سطح آزاد و در صورت

حباب کاویتاسیون در لبه‌ی حمله مکش زیاد جریان و کاهش شدید فشار استاتیکی باعث افزایش اختلاف فشار سطح بالا و پایین هیدروفویل نسبت به جریان کاویتاسیونی و افزایش ناچیز ضریب برآ خواهد شد. در جدول (۲) ضرایب آیرودینامیکی آورده شده‌است.

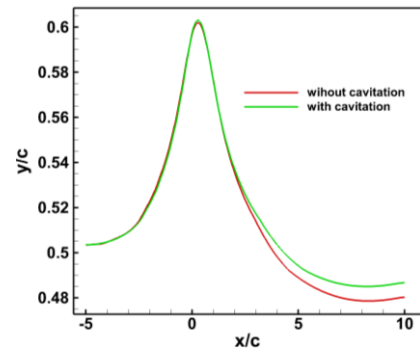
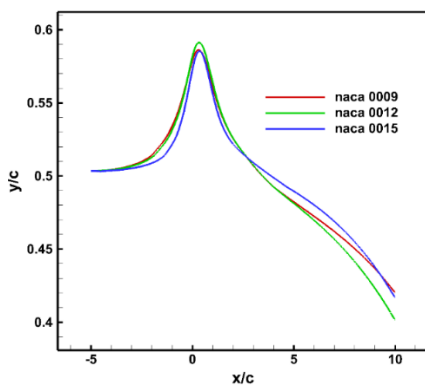
جدول ۲- مقایسه ضرایب آیرودینامیکی در صورت تشکیل کاویتاسیون و بدون آن در زاویه حمله ۴ درجه و عمق غرق‌شدگی ۰/۵ طول وتر در عدد فرود ۶/۴۸

ضریب پسای شکلی	ضریب اصطکاکی	ضریب پسای کل	ضریب برآ	
۰/۰۱۹	۰/۰۰۴	۰/۰۲۳	۰/۲۷	جریان کاویتاسیونی
۰/۰۱۵	۰/۰۰۶	۰/۰۲۱	۰/۲۹	جریان بدون کاویتاسیون

۴-۳- اثر ضخامت

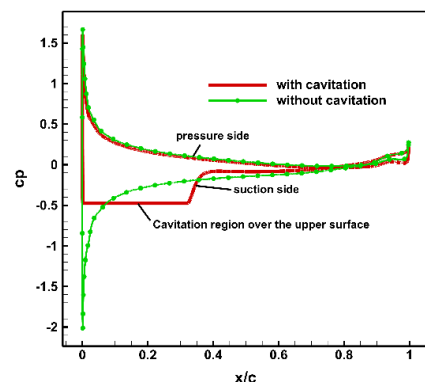
در این قسمت برای بررسی اثر افزایش ضخامت بر نتایج، سه هیدروفویل متقارن ناکا ۰۰۹، ناکا ۰۰۱۲ و ناکا ۰۰۱۵ در زاویه حمله ۲/۵ درجه و عدد کاویتاسیون ۰/۵ در عمق غرق‌شدگی ۰/۵ طول وتر هیدروفویل با یکدیگر مقایسه شده‌اند. عدد فرود جریان ۶/۴۸ است.

در شکل (۱۲) شکل موج تشکیل‌شده در سطح آزاد این سه هیدروفویل در جریان کاویتاسیونی با شرایط یکسان یا یکدیگر مقایسه شده‌است. ارتفاع موج تشکیل‌شده در سطح آزاد هیدروفویل ناکا ۰۰۰۹ و ناکا ۰۰۱۵ تقریباً ۰/۰۸ طول وتر هیدروفویل و ارتفاع موج تشکیل‌شده در سطح آزاد هیدروفویل ناکا ۰۰۱۲ تقریباً ۰/۰۹ طول وتر هیدروفویل است. علی‌رغم اینکه انتظار می‌رود بر خاستگی موج در جریان سطح آزاد حول هیدروفویل ناکا ۰۰۱۵ به علت بیشتر بودن ضخامت بیشتر باشد، ناحیه وسیع کم‌فشار سطح بالای هیدروفویل با مکنندگی زیاد منجر به کم شدن دامنه موج شده است.



شکل ۱۰ - مقایسه شکل موج جریان در صورت تشکیل کاویتاسیون و بدون آن در زاویه حمله ۴ درجه و عمق غرق‌شدگی ۰/۵ طول وتر هیدروفویل

در صورت ایجاد حباب کاویتاسیون ضریب فشار کمینه همان فشار بخار (P_{sat}) خواهد بود، اما در صورت جلوگیری از تشکیل حباب، فشار کمینه سطح بالای هیدروفویل به ۲۰۰- کیلو پاسکال می‌رسد. این کاهش فشار و مکنندگی زیاد، موج را به سمت خود می‌کشد. در نتیجه افزایش دامنه موج کمتر از حد انتظار خواهد شد. در شکل (۱۱) ضریب فشار هیدروفویل در حالت وقوع کاویتاسیون و صرف‌نظر کردن از اثر آن با یکدیگر مقایسه شده‌اند. سطح پایین دو هیدروفویل در دو شبیه‌سازی و سطح بالای هیدروفویل بعد از تمام ناحیه‌ی حباب کاویتاسیون و جت بازگشتی تقریباً بر هم منطبق‌اند. لازم به ذکر است ضریب فشار جریان کاویتاسیونی با مرجع [۹] اعتبار سنجی شده است. در صورت عدم تشکیل کاویتاسیون صحت شبیه‌سازی از مقایسه نمودار ضریب فشار با کد MXPAN3D بررسی شد. اختلاف نتایج با مرجع ۵٪ و به علت صرف‌نظر کردن از اثرات سه‌بعدی بودن جریان است.

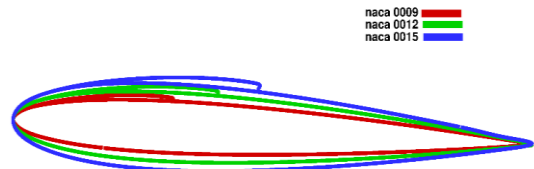


شکل ۱۱ - مقایسه ضریب فشار سطح هیدروفویل ناکا ۱۶۰۰۶ در صورت تشکیل کاویتاسیون و بدون آن در زاویه حمله ۴ درجه و عمق غرق‌شدگی ۰/۵ طول وتر هیدروفویل

در این مسئله با تشکیل کاویتاسیون ضریب پسای اصطکاکی در ناحیه تشکیل حباب کم و در ناحیه جت بازگشتی زیاد می‌شود. ضریب پسای شکلی نیز با تشکیل حباب زیاد می‌شود. ضریب پسای کل که حاصل جمع این دو مقدار است با تشکیل کاویتاسیون به مقدار ناچیزی افزایش یافته‌است. با صرف‌نظر کردن از اثر تشکیل

شکل ۱۲ - مقایسه شکل موج سطح آزاد با افزایش ضخامت هیدروفویل‌های ۴ رقمی ناکا در عدد کاویتاسیون ۰/۵، زاویه حمله ۲/۵ درجه و عمق غرق‌شدگی ۰/۵ طول وتر هیدروفویل

در شکل (۱۳) شکل حباب تشکیل‌شده در سطح بالای سه هیدروفویل آورده شده‌است. با افزایش ضخامت هیدروفویل، سطح بالای هیدروفویل کاهش فشار بیشتری تجربه می‌کند؛ بنابراین حجم بخار آب بیشتری روی سطح تشکیل خواهد شد.



شکل ۱۳ - مقایسه شکل، جرم بخار آب و طول حباب تشکیل‌شده با افزایش ضخامت هیدروفویل‌های ۴ رقمی ناکا در عدد کاویتاسیون ۰/۵، زاویه حمله ۲/۵ درجه و عمق غرق‌شدگی ۰/۵ طول وتر هیدروفویل

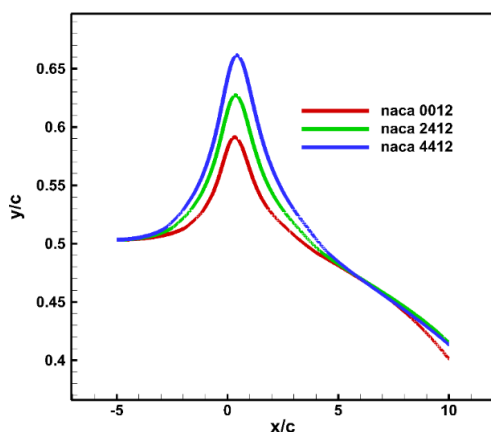
جدول ۳- مقایسه ضرایب آیرودینامیکی با افزایش ضخامت هیدروفویل در عدد کاویتاسیون ۰/۵، زاویه حمله ۲/۵ درجه و عمق غرق‌شدگی ۰/۵ طول وتر هیدروفویل

هیدروفویل	ضریب پسای شکلی	ضریب پسای اصطکاکی	ضریب پسای کل	ضریب برآ
ناکا ۰۰۰۹	۰/۰۱۵	۰/۰۰۵	۰/۰۲۰	۰/۱۹
ناکا ۰۰۱۲	۰/۰۲۲	۰/۰۰۴	۰/۰۲۶	۰/۱۶
ناکا ۰۰۱۵	۰/۰۲۸	۰/۰۰۴	۰/۰۳۲	۰/۰۷

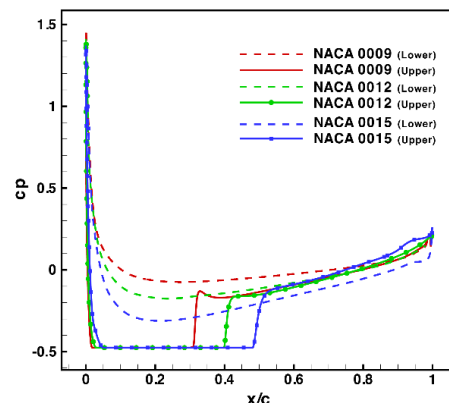
۵-۳- اثر انحنا

در این قسمت برای بررسی اثر افزایش انحنا هیدروفویل بر نتایج سه هیدروفویل ناکا ۰۰۱۲، ناکا ۲۴۱۲ و ناکا ۴۴۱۲ در زاویه حمله ۲/۵ درجه و عدد کاویتاسیون ۰/۵ در عمق غرق‌شدگی ۰/۵ طول وتر با یکدیگر مقایسه شده‌اند. عدد فرود جریان ۶/۴۸ است.

در شکل (۱۵) شکل موج تشکیل‌شده در سطح آزاد این سه هیدروفویل در جریان کاویتاسیونی با شرایط یکسان با یکدیگر مقایسه شده‌است. بیشینه ارتفاع موج تشکیل‌شده در سطح آزاد هیدروفویل‌های ناکا ۰۰۱۲، ناکا ۲۴۱۲ و ناکا ۴۴۱۲ به ترتیب ۹٪، ۱۲٪ و ۱۶٪ طول وتر هیدروفویل است. با افزایش انحنا هیدروفویل اندازه حباب کاویتاسیون بیشتر شده و ضخامت محلی هیدروفویل بیشتر خواهد شد. با افزایش انحنا، فشار سطح زیرین هیدروفویل نیز بیشتر می‌شود. افزایش اندازه حباب سطح بالای هیدروفویل و افزایش فشار سطح زیرین منجر به افزایش دامنه موج شده‌است.



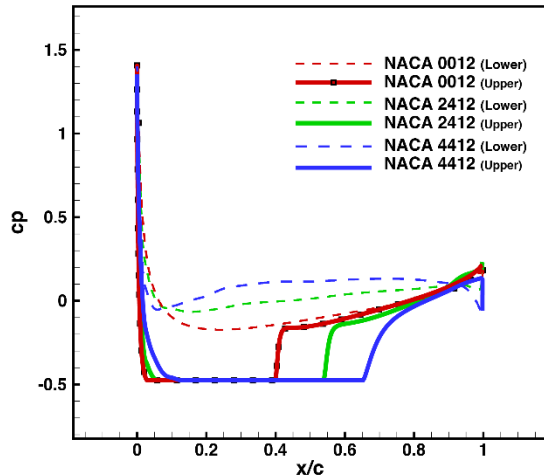
در شکل (۱۴) ضریب فشار روی سطح سه هیدروفویل با یکدیگر مقایسه شده‌است. در قسمتی که حباب کاویتاسیون تشکیل‌شده فشار ثابت و برابر با فشار بخار آب اشباع است. اندازه ضریب فشار در این ناحیه برابر با عدد کاویتاسیون است. بعد از ناحیه تشکیل حباب، تقریباً هر سه هیدروفویل فشار یکسانی را تجربه می‌کنند. در سطح پایین هیدروفویل، افزایش ضخامت منجر به کاهش بیشتر فشار شده‌است.



شکل ۱۴ - مقایسه ضریب فشار با افزایش ضخامت هیدروفویل‌های ۴ رقمی ناکا در عدد کاویتاسیون ۰/۵، زاویه حمله ۲/۵ درجه و عمق غرق‌شدگی ۰/۵ طول وتر هیدروفویل

در جدول (۳) ضرایب برآ، پسا این سه هیدروفویل با یکدیگر مقایسه شده‌اند. با افزایش ضخامت هیدروفویل و بزرگ شدن حباب کاویتاسیون، ضریب پسای شکلی زیاد می‌شود. افزایش ضخامت

فشار با فشار بخار اشباع برابر است. با افزایش انحنا و زیاد شدن طول حباب ناحیه فشار ثابت سطح بالای هیدروفویل، بیشتر شده است.



شکل ۱۵ - مقایسه ضریب فشار با افزایش انحنا هیدروفویل های ۴ رقمی ناکا در عدد کاونتاسیون ۰/۵، زاویه حمله ۲/۵ درجه و عمق غرق شدگی ۰/۵ طول وتر هیدروفویل

افزایش انحنا منجر به افزایش ناحیه کم فشار سطح بالایی، افزایش فشار سطح زیرین و بیشتر شدن ضریب برآ شده است. با افزایش انحنا ضریب پسای شکلی زیاد می شود. ضریب پسای پوسته ای با افزایش انحنا و بزرگ شدن حباب کاونتاسیون، به علت کم بودن لزجت دینامیکی آب و کم شدن تنش برشی وارده از سمت سیال به هیدروفویل، کمتر خواهد شد. پسای کل که حاصل جمع پسای پوسته ای و شکلی است، با افزایش انحنا زیاد شده است. در جدول (۴) ضرایب آیرودینامیکی و جرم بخار آب تشکیل شده سه هیدروفویل آورده شده است.

جدول ۴ - مقایسه ضرایب آیرودینامیکی با افزایش انحنا هیدروفویل در عدد کاونتاسیون ۰/۵، زاویه حمله ۲/۵ درجه و عمق غرق شدگی ۰/۵ طول وتر هیدروفویل

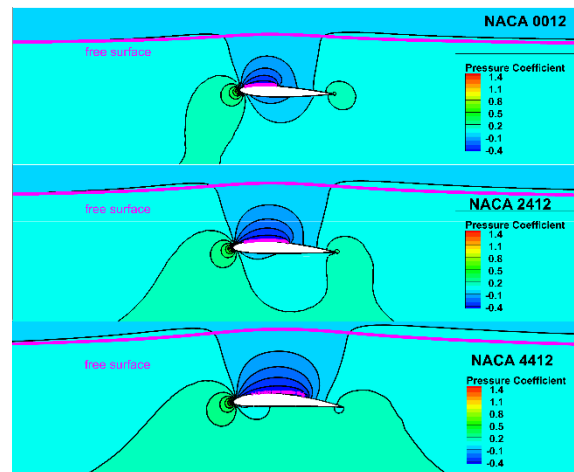
هیدروفویل	ضریب پسای پوسته ای	ضریب پسای شکلی	ضریب پسای کل	ضریب برآ
ناکا ۰۰۱۲	۰/۰۰۴۹	۰/۰۲۱۴	۰/۰۲۶۴	۰/۱۶
ناکا ۲۴۱۲	۰/۰۰۴۶	۰/۰۲۲۲	۰/۰۲۶۹	۰/۲۸
ناکا ۴۴۱۲	۰/۰۰۴۲	۰/۰۲۲۳	۰/۰۳۶۶	۰/۳۹

۶-۳- اثر زاویه حمله

در این قسمت برای بررسی اثر افزایش زاویه حمله بر نتایج، هیدروفویل متقارن ناکا ۰۰۰۹ در زاویه حمله ۲/۵، ۳ و ۳/۵ درجه و عدد کاونتاسیون ۰/۵ در عمق غرق شدگی ۰/۵ طول وتر شبیه سازی شد. عدد فرود جریان ۶/۴۸ است.

شکل ۱۵ - مقایسه شکل موج سطح آزاد با افزایش انحنا هیدروفویل های ۴ رقمی ناکا در عدد کاونتاسیون ۰/۵، زاویه حمله ۲/۵ درجه و عمق غرق شدگی ۰/۵ طول وتر هیدروفویل

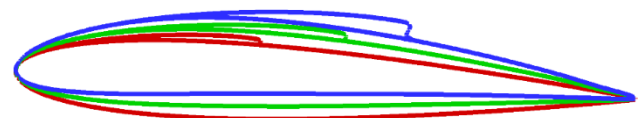
در شکل (۱۶) کانتور ضریب فشار حول سه هیدروفویل آورده شده است. در ناحیه خارج از لایه مرزی هیدروفویل قانون برنولی برقرار است. با افزایش انحنا سرعت جریان بالای هیدروفویل بیشتر شده و فشار این ناحیه کمتر می شود. در سطح زیرین، افزایش انحنا منجر به کاهش سرعت جریان و افزایش فشار این ناحیه خواهد شد. وجود سطح آزاد فشار هیدرو-استاتیکی سطح بالا و پایین را افزایش داده است.



شکل ۱۶ - مقایسه کانتور ضریب فشار حول هیدروفویل با افزایش انحنا هندسه در عدد کاونتاسیون ۰/۵، زاویه حمله ۲/۵ درجه و عمق غرق شدگی ۰/۵ طول وتر هیدروفویل

کاهش فشار زیاد سطح بالای هیدروفویل جریان را بیشتر مستعد تشکیل کاونتاسیون خواهد کرد. در شکل (۱۷) شکل حباب کاونتاسیون تشکیل شده برای سه هیدروفویل مقایسه شده است. با افزایش انحنا، جرم و طول حباب تشکیل شده روی سطح هیدروفویل بیشتر شده است.

— naca 0012
— naca 2412
— naca 4412

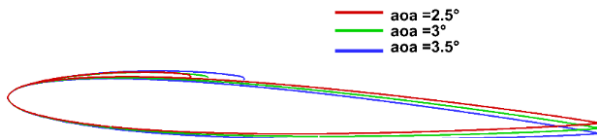


شکل ۱۷ - مقایسه شکل حباب تشکیل شده با افزایش انحنا هیدروفویل های ۴ رقمی ناکا در عدد کاونتاسیون ۰/۵، زاویه حمله ۲/۵ درجه و عمق غرق شدگی ۰/۵ طول وتر هیدروفویل

در شکل (۱۸) ضریب فشار منحنی سطح هر سه هیدروفویل آورده شده است. در ناحیه ای که حباب کاونتاسیون تشکیل شده اندازه

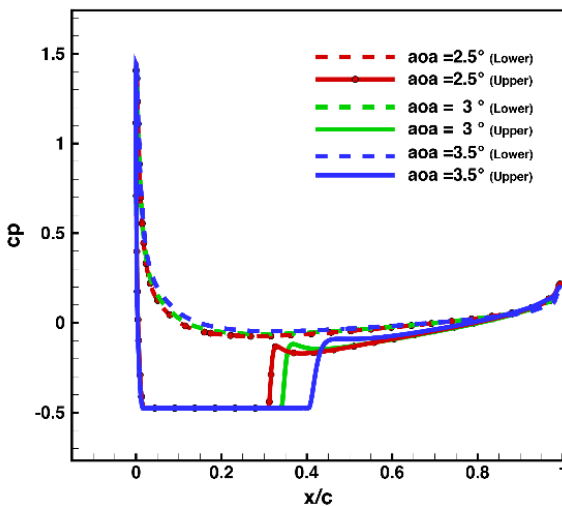
شکل ۲۰ - مقایسه کانتور ضریب فشار با افزایش زاویه حمله هیدروفویل ناکا ۰۰۰۹ در عدد کایتاسیون ۰/۵ و عمق غرق شدگی ۰/۵ طول وتر هیدروفویل

در شکل (۲۱) شکل حباب کایتاسیون تشکیل شده در زوایای حمله ۰/۵، ۳ و ۳/۵ درجه آورده شده است. با افزایش زاویه حمله و کم شدن فشار سطح بالایی هیدروفویل، حجم و طول حباب کایتاسیون بزرگ تر می شود [۶].



شکل ۲۱ - مقایسه شکل حباب تشکیل شده با افزایش زاویه حمله هیدروفویل ناکا ۰۰۰۹ در عدد کایتاسیون ۰/۵ و عمق غرق شدگی ۰/۵ طول وتر هیدروفویل

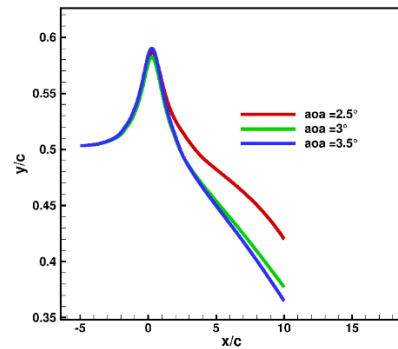
در شکل (۲۲) ضریب فشار سطح هیدروفویل در زوایای حمله ۰/۵، ۳ و ۳/۵ درجه با یکدیگر مقایسه شده اند. در ناحیه تشکیل حباب، فشار سطح هیدروفویل ثابت و برابر با فشار بخار اشباع است. بعد از ناحیه تشکیل حباب فشار هر سه هیدروفویل تقریباً یکسان است. سطح زیرین هیدروفویل با افزایش زاویه حمله افزایش فشار بسیار اندکی را تجربه می کند که قابل به چشم پوشی است.



شکل ۲۲ - مقایسه ضریب فشار با افزایش زاویه حمله هیدروفویل ناکا ۰۰۰۹ در عدد کایتاسیون ۰/۵ و عمق غرق شدگی ۰/۵ طول وتر هیدروفویل

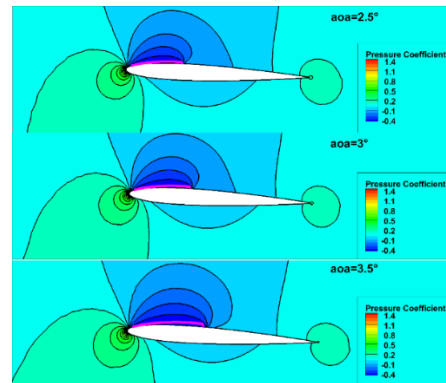
بزرگ شدن حباب کایتاسیون با افزایش زاویه حمله منجر به کم شدن پسای پوسته ای و افزایش پسای شکلی خواهد شد. پسای کل با افزایش زاویه حمله افزایش می یابد. وسیع شدن ناحیه کم فشار بالای سطح هیدروفویل با افزایش زاویه حمله باعث زیاد شدن اختلاف فشار سطح بالا و پایین هیدروفویل و افزایش ضریب برآ

در شکل (۱۹) شکل موج تشکیل شده در سطح آزاد هیدروفویل ناکا ۰۰۰۹ در سه زاویه حمله ۰/۵، ۳ و ۳/۵ درجه با یکدیگر مقایسه شده است. بیشینه دامنه موج، در هر سه شبیه سازی حدود ۸٪ طول وتر هیدروفویل است و اختلاف بسیار ناچیزی در دامنه موج سه شبیه سازی پیش بینی شده است. با اینکه انتظار می رود در صورت افزایش زاویه حمله هیدروفویل، طول موج پیش بینی شده بلندتر شود، با بزرگ شدن حباب کایتاسیون و مکش جریان، طول موج تغییراتی محسوس نداشتند. با افزایش زاویه حمله هیدروفویل، نرخ اضمحلال جریان بیشتر شده و از قانون پایستگی انرژی، اتلافات بیشتر جریان منجر به افت هد ۱۷ و کاهش دامنه موج با شیب بیشتری شده است.



شکل ۱۹ - مقایسه شکل موج سطح آزاد با افزایش زاویه حمله هیدروفویل ناکا ۰۰۰۹ در عدد کایتاسیون ۰/۵ و عمق غرق شدگی ۰/۵ طول وتر هیدروفویل

در شکل (۲۰) کانتور ضریب فشار حول هیدروفویل ناکا ۰۰۰۹ در زوایای حمله ۰/۵، ۳ و ۳/۵ درجه آورده شده است. با افزایش زاویه حمله در نواحی خارج از لایه مرزی، سرعت جریان سطح بالایی هیدروفویل بیشتر و فشار محلی کم تر خواهد شد. این کاهش فشار جریان را بیشتر مستعد تشکیل حباب کایتاسیون خواهد کرد. با تشکیل حباب بزرگ تر ناحیه کم فشار سطح بالای هیدروفویل وسیع تر می شود. با افزایش زاویه حمله سرعت جریان نزدیک سطح زیرین کمتر شده و فشار جریان بیشتر خواهد شد.



شده است. ضرایب آیرودینامیکی هر سه شبیه سازی در جدول (۵) آورده شده است.

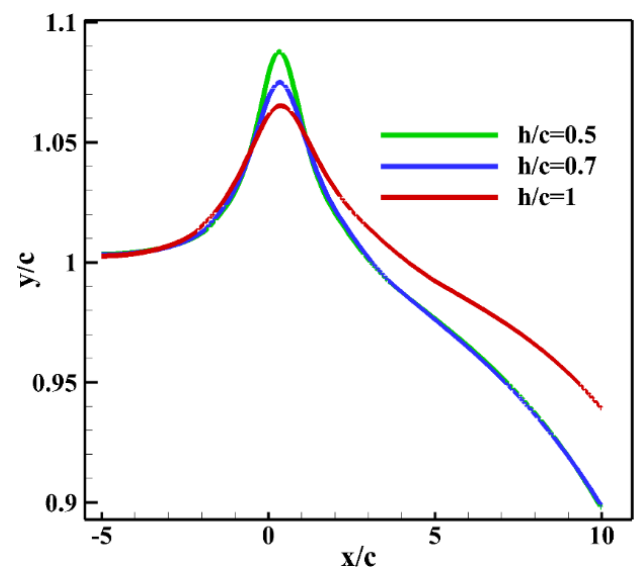
جدول ۵- مقایسه ضرایب آیرودینامیکی هیدروفویل ناکا ۰۰۰۹ با افزایش زاویه حمله در عدد کاونتاسیون ۰/۵ و عمق غرق شدگی ۰/۵ طول وتر

زاویه حمله (deg)	ضریب پسای پوسته‌ای	ضریب پسای شکلی	ضریب پسای کل	ضریب برآ
۲/۵	۰/۰۰۵۰	۰/۰۱۵۸	۰/۰۲۰۸	۰/۱۹
۳	۰/۰۰۴۹	۰/۰۱۹۱	۰/۰۲۴۰	۰/۲۰
۳/۵	۰/۰۰۴۵	۰/۰۲۳۱	۰/۰۲۷۶	۰/۲۳

۳-۷- اثر عمق غرق شدگی

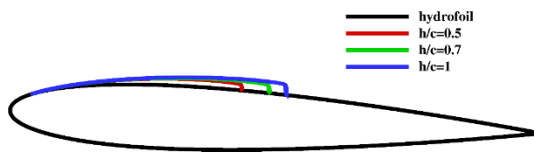
در این قسمت برای بررسی اثر افزایش عمق غرق شدگی بر شکل موج تشکیل شده در سطح آزاد، هیدروفویل ناکا ۰۰۱۲ در زاویه حمله ۲/۵ درجه و عدد کاونتاسیون ۰/۵ در عمق غرق شدگی بی بعد شده بر حسب طول وتر ۰/۷، ۰/۵ و ۱ قرار گرفت و نتایج با یکدیگر مقایسه شد.

در شکل (۲۳) شکل موج تشکیل شده در سطح آزاد سه شبیه سازی با یکدیگر مقایسه شده اند. هر چه عمق غرق شدگی هیدروفویل بیشتر باشد، حضور هیدروفویل و تغییرات فشار ناشی از آن کمتر می تواند باعث افزایش طول موج شود. در عمق غرق شدگی بی بعد شده ۰/۷، ۰/۵ و ۱ بیشینه دامنه موج به ترتیب ۰/۰۹، ۰/۰۷ و ۰/۰۶ طول وتر هیدروفویل است.



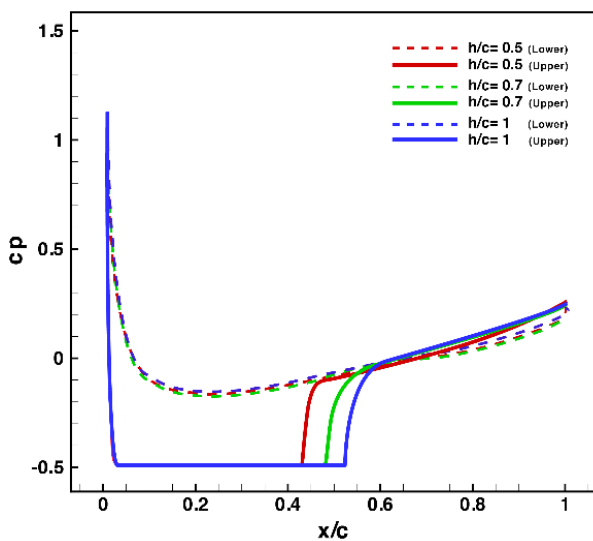
شکل ۲۳ - مقایسه شکل موج سطح آزاد با افزایش عمق غرق شدگی هیدروفویل ناکا ۰۰۱۲ در عدد کاونتاسیون ۰/۵ و زاویه حمله ۲/۵ درجه

در سال ۲۰۲۰ سان و همکاران [۱۰] دریافتند، با افزایش عمق غرق شدگی هیدروفویل ناکا ۶۶ طول و حجم بخار آب تشکیل شده در سطح بالای هیدروفویل بیشتر خواهد شد. شکل (۲۴) نمایشی از حباب تشکیل شده روی سطح بالای هیدروفویل به ازای عمق بی بعد غرق شدگی ۰/۵، ۰/۷ و ۱ در شبیه سازی حاضر است.



شکل ۲۴ - مقایسه شکل حباب تشکیل شده با افزایش عمق غرق شدگی هیدروفویل ناکا ۰۰۱۲ در عدد کاونتاسیون ۰/۵ و زاویه حمله ۲/۵ درجه

در شکل (۲۵) ضریب فشار سطح بالا و پایین هیدروفویل ناکا ۰۰۱۲ در سه عمق بی بعد غرق شدگی ۰/۵، ۰/۷ و ۱ آورده شده است. با افزایش عمق غرق شدگی در سطح بالایی هیدروفویل، کاهش شیب تغییرات فشار استاتیکی باعث بیش تر شدن طول حباب شده است. با افزایش طول حباب ناحیه فشار ثابت سطح بالای هیدروفویل بیشتر شده است. لازم به ذکر است که برای یکسان نگه داشتن عدد کاونتاسیون سرعت ورودی با افزایش عمق غرق شدگی بیشتر شد؛ که این افزایش سرعت خود دلیلی بر افزایش طول و حجم حباب کاونتاسیون است.



شکل ۲۵ - مقایسه ضریب فشار با افزایش عمق غرق شدگی هیدروفویل ناکا ۰۰۱۲ در عدد کاونتاسیون ۰/۵ و زاویه حمله ۲/۵ درجه

سان و همکاران [۱۰] در سال ۲۰۲۰ دریافتند با افزایش عمق غرق شدگی جریان کاونتاسیونی، ضرایب برآ و پسای بیشتر می شود. در این پژوهش نیز با افزایش عمق غرق شدگی و بزرگ شدن حباب کاونتاسیون ناحیه کم فشار سطح بالایی هیدروفویل وسیع تر شده و اختلاف فشار سطح بالا و پایین هیدروفویل در راستای عمود بر جهت جریان بیشتر شده و ضریب برآ بیشتر می شود. با افزایش عمق غرق شدگی و بزرگ تر شدن حباب کاونتاسیون پسای پوسته‌ای کمتر و پسای شکلی بیشتر شده و ضریب پسای کل بزرگ تر شده است. لازم به ذکر است، بی بعد سازی ضرایب آیرودینامیکی با سرعت جریان ورودی انجام شده و

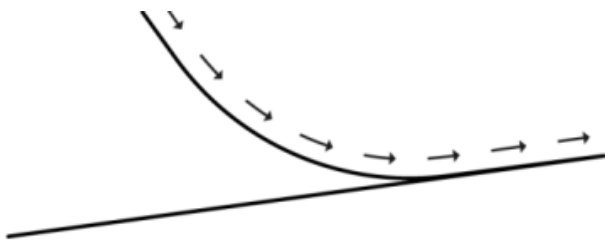
افزایش سرعت جریان فشار سطح بالا و پایین هیدروفویل کمتر شده و استعدادهای جریان برای تشکیل کایتاسیون بیشتر خواهد شد [۱۲].

hydrofoil
 $\sigma=0.50$
 $\sigma=0.38$
 $\sigma=0.32$



شکل ۲۷ - مقایسه شکل حباب تشکیل شده با افزایش عدد کایتاسیون هیدروفویل ناکا ۴۴۱۲ در زاویه حمله ۲/۵ درجه و عمق غرق شدگی ۰/۵ طول وتر هیدروفویل

در هیدروفویل ناکا ۴۴۱۲ نحوه بسته شدن حباب کایتاسیون به شکلی است که جریان عبوری از روی حباب با حرکت به موازات سطح هیدروفویل لایه مرزی در راستای عمود بر سطح ایجاد می‌کند. مرز انتهایی حباب این شبیه‌سازی در شکل (۲۸) آورده شده است.



شکل ۲۸ - نحوه بسته شدن حباب کایتاسیون سطح بالای هیدروفویل ناکا ۴۴۱۲

در شکل (۲۹) نمایی از ضریب فشار روی سطح هیدروفویل در عدد کایتاسیون ۰/۵، ۰/۳۸ و ۰/۳۲ آورده شده است. قسمت فشار ثابت هر سه نمودار یکسان و برابر با (P_{sat}) است. چون سرعت مرجع در بی‌بعد سازی متفاوت است، ضریب فشار ناحیه فشار ثابت سه شبیه‌سازی با یکدیگر تفاوت دارند. اگر از تغییرات ناچیز فشار هیدرو-استاتیکی در لایه مرزی هیدروفویل صرف نظر کرده و قانون برنولی در مختصات مشخصی خارج از حباب کایتاسیون برای هر سه شبیه‌سازی نوشته شود، با افزایش سرعت شبیه‌سازی فشار استاتیکی کم خواهد شد. اگر گرادین فشار لایه مرزی ثابت فرض شود، با افزایش سرعت فشار سطح هیدروفویل کم می‌شود. به همین علت بعد از ناحیه فشار ثابت، در صورت افزایش عدد کایتاسیون فشار سطح بالای هیدروفویل افزایش بیشتری دارد. در سطح پایین هیدروفویل نیز با افزایش عدد کایتاسیون، فشار بیشتر شده است.

سرعت جریان ورودی با افزایش ارتفاع غرق‌شدگی برای ثابت نگه‌داشتن عدد کایتاسیون بیشتر شده است. در جدول (۶) نیروها و ضرایب آیرودینامیکی هیدروفویل ناکا ۰۰۱۲ با افزایش عمق غرق‌شدگی با یکدیگر مقایسه شده‌اند.

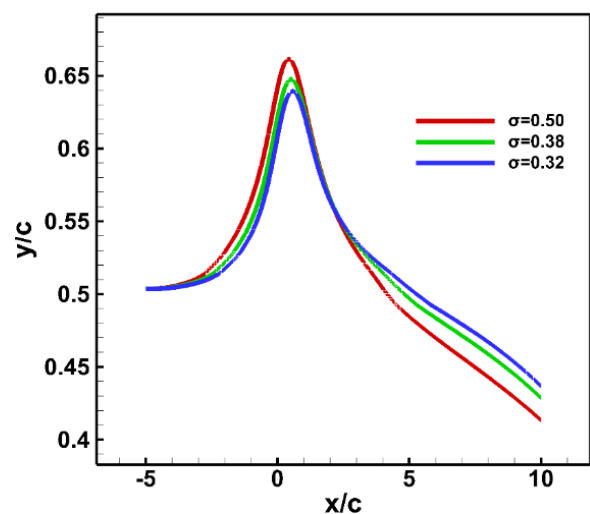
جدول ۶- مقایسه نیروهای آیرودینامیکی با افزایش عمق غرق‌شدگی هیدروفویل ناکا ۰۰۱۲ در عدد کایتاسیون ۰/۵ و زاویه حمله ۲/۵ درجه

عمق غرق‌شدگی (h/c)	پسای اصطکاکی (N)	پسای شکلی (N)	ضریب پسای کل	ضریب برآ
۰/۵	۸۵۰	۲۳۶۶	۰/۰۲۶	۰/۱۶
۰/۷	۸۲۸	۲۹۰۲	۰/۰۲۸	۰/۱۷
۱	۸۱۶	۳۴۳۱	۰/۰۲۹	۰/۱۸

۸-۳- اثر عدد کایتاسیون

در این قسمت برای بررسی اثر افزایش عدد کایتاسیون، هیدروفویل ناکا ۴۴۱۲ در زاویه حمله ۲/۵ درجه و در عمق غرق‌شدگی ۰/۵ طول وتر در اعداد کایتاسیون ۰/۵، ۰/۳۸ و ۰/۳۲ شبیه‌سازی و نتایج آن با یکدیگر مقایسه شد.

در شکل (۲۶) شکل موج تشکیل شده در سطح آزاد هیدروفویل ناکا ۴۴۱۲ در صورت افزایش عدد کایتاسیون آورده شده است. در جریان بدون کایتاسیون با افزایش سرعت جریان دامنه موج بیشتر می‌شود. در این مسئله با افزایش سرعت و بزرگ شدن ناحیه حباب کایتاسیون، مکندگی سطح بالای هیدروفویل بیشتر شده و برخاستگی موج کمتر خواهد شد. در عدد کایتاسیون ۰/۵، ۰/۳۸ و ۰/۳۲ بیشینه دامنه موج به ترتیب ۰/۱۶، ۰/۱۴ و ۰/۱۳ طول وتر هیدروفویل است.



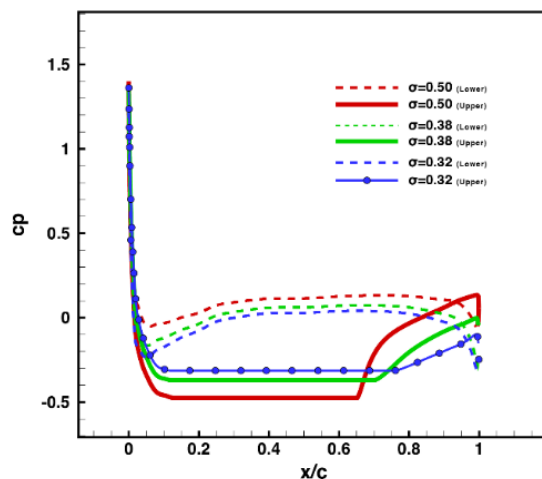
شکل ۲۶- مقایسه شکل موج سطح آزاد با افزایش عدد کایتاسیون هیدروفویل ناکا ۴۴۱۲ در عمق غرق‌شدگی ۰/۵ طول وتر و زاویه حمله ۲/۵ درجه

در شکل (۲۷) نمایی از شکل حباب تشکیل شده در سطح بالای هیدروفویل در صورت کاهش عدد کایتاسیون آورده شده است. با

- با افزایش انحنا هیدروفویل، دامنه موج تشکیل شده بلندتر، حجم حباب کاویتاسیون بزرگتر، ضرایب برآ و پسا بیشتر شد. با افزایش انحنا هندسه مغروق احتمال ردیابی سامانه به علت افزایش دامنه موج بیشتر است.
- با افزایش عمق غرق‌شدگی هیدروفویل، دامنه موج تشکیل شده کوتاه‌تر، حجم حباب کاویتاسیون بزرگتر، ضرایب برآ و پسا بیشتر شد. پس برای سامانه‌ای با مأموریتی در عمق غوطه‌وری بالا اعمال تمهیدات سازه‌ای برای جلوگیری از پوسیدگی و فرسایش سازه به علت وقوع کاویتاسیون ضروری است.
- با افزایش زاویه حمله هیدروفویل، حجم حباب کاویتاسیون بیشتر، ضرایب برآ و پسا بیشتر شد.
- با کاهش عدد کاویتاسیون، دامنه موج تشکیل شده کوتاه‌تر، حجم حباب کاویتاسیون بیشتر، ضرایب برآ کمتر، ضریب پسا بیشتر شد.

۵- مراجع

1. G. Griffiths, *Technology and Applications of Autonomous Underwater Vehicle*, 2002.
2. Y. A. Semenov and G. X. Wu, Free-Surface Gravity Flow Due to a Submerged Body in Uniform Current, *Journal of Fluid Mechanics*, Vol. 883, pp. A60, 2020, doi: 10.1017/jfm.2019.930.
3. B. R. Parkin, B. Perry and T. Y. T. Wu, Pressure Distribution on a Hydrofoil Running near the Water Surface, *journal of Applied physics*, Vol. 27, pp. 232-240, 1956, doi: 10.1063/1.1722350.
4. J. S. Marshall and E. R. Johnson, The High-Speed Submerged Hydrofoil, *Journal of Fluid Mechanics*, Vol. 954, 2023, doi: 10.1017/jfm.2022.1042.
5. O. M. Faltinsen, Hydrodynamics of High-Speed Marine Vehicles, *Hydrodynamics of High-Speed Marine Vehicles*, pp. 1-454, 2006, doi: 10.1017/CBO9780511546068.
6. J. P. Franc and J.-M. Michel, Fundamentals of Cavitation, *fluid Mechanics and Its Applications*, Vol. 76, 2005, doi: 10.1007/1-4020-2233-6.
7. S. A. Kinnas, *Non-Linear Corrections of the Linear Theory for the Prediction of the Cavitation Flow around Hydrofoils*, doctor of philosophy Thesis, Dept, MIT, 1985.



شکل ۲۹ - مقایسه ضریب فشار با افزایش عدد کاویتاسیون هیدروفویل ناکا ۴۴۱۲ در زاویه حمله ۲/۵ درجه و عمق غرق‌شدگی ۰/۵ طول وتر هیدروفویل

در جدول (۷) ضرایب آیرودینامیکی با تغییر عدد کاویتاسیون آورده شده‌است. در صورت تشکیل کاویتاسیون فشار ناحیه‌ی تشکیل حباب ثابت و برابر با فشار بخار است در حالی که افزایش عدد کاویتاسیون باعث زیاد شدن فشار سطح پایین هیدروفویل می‌شود. افزایش اختلاف فشار سطح بالا و پایین هیدروفویل منجر به افزایش نیروی برآ شده‌است. در نتایج فاین^{۱۸} [۱۲] نیز افزایش ضریب برآ با افزایش عدد کاویتاسیون در زوایای حمله متفاوت مشاهده شد. در این سه شبیه‌سازی، افزایش عدد کاویتاسیون، کوچک شدن حباب و کم شدن پسای شکلی باعث کاهش پسای کل شده‌است.

جدول ۷- مقایسه ضرایب آیرودینامیکی هیدروفویل ناکا ۴۴۱۲ با تغییر عدد کاویتاسیون در زاویه حمله ۲/۵ درجه و عمق غرق‌شدگی ۰/۵ طول وتر هیدروفویل

عدد کاویتاسیون	پسای اصطکاکی (N)	پسای شکلی (N)	ضریب پسا	ضریب برآ
۰/۵	۸۸۲	۶۶۶۰	۰/۰۳۶	۰/۳۹
۰/۳۸	۱۰۳۸	۱۱۸۸۲	۰/۰۴۸	۰/۲۹
۰/۳۲	۱۲۰۸	۱۵۶۵۷	۰/۰۵۴	۰/۲۴

۴ - خلاصه نتایج

در این پژوهش جریان سه فازی کاویتاسیونی برای هیدروفویل‌های ناکا با هندسه متفاوت، در زوایای حمله و سرعت متفاوت شبیه‌سازی و نتایج زیر حاصل شد.

- با افزایش ضخامت هیدروفویل، حجم حباب کاویتاسیون بیشتر، ضریب برآ کمتر و ضریب پسا بیشتر شد. پس کاهش ضخامت هیدروفویل منجر به افزایش نسبت ضریب برآ به پسا خواهد شد.

^{۱۸} Fine

8. S. Bal and S. A. Kinnas, A Bem for the Prediction of Free Surface Effects on Cavitating Hydrofoils, *Computational Mechanics*, Vol. 28, pp. 260-274, 2002.
9. P. C. Wu and J. H. Chen, Numerical Study on Cavitating Flow Due to a Hydrofoil near a Free Surface, *Ocean Engineering and Science*, Vol. 1, No. 3, pp. 238-245, 2016.
10. T. Sun, Q. Xie, L. Zou, H. Wang and C. Xu, Numerical Investigation of Unsteady Cavitation Dynamics over a Naca66 Hydrofoil near a Free Surface, *Marine Science and Engineering*, Vol. 8, 2020, doi: 10.3390/jmse8050341.
11. Y. Wang, X. Wu, C. Huang and X. Wu, Unsteady Characteristics of Cloud Cavitating Flow near the Free Surface around an Axisymmetric Projectile, *Multiphase Flow*, Vol. 85, 2016, doi: 10.1016/j.ijmultiphaseflow.2016.05.013.
12. N. E. Fine, *Computational and Experimental Investigations of the Flow around Cavitating Hydrofoils*, Master Thesis, Dept of Ocean Engineering, Massachusetts Institute of Technology, 1988.